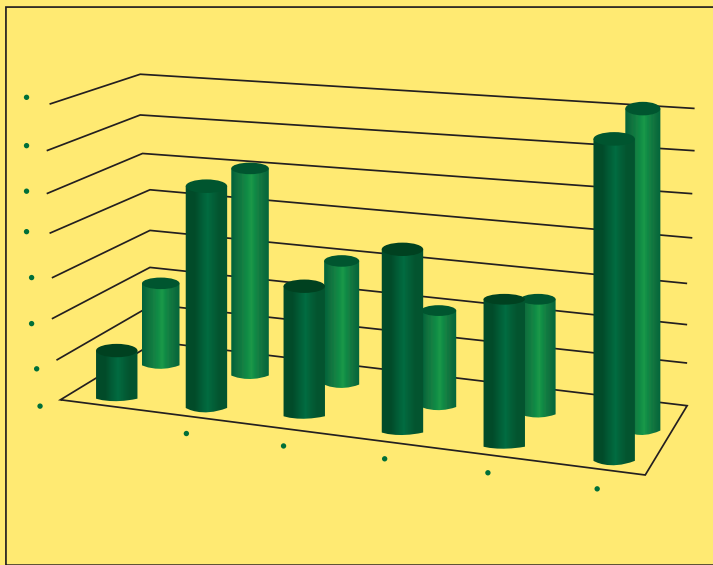


مجلة العلوم الإحصائية



العدد رقم 22

مجلة علمية محكمة
يصدرها المعهد العربي للتدريب والبحوث الإحصائية

معتمدة في قائمة المجالات العلمية
ulrich's
www.ulrichsweb.com

مصنفة في معامل التأثير والاستشهادات المرجعية العربي (أرسيف)
www.emarefa.net/arcif/

ISSN 2522-64X (Online), ISSN 2519-948X (Print)

مجلة العلوم الإحصائية

مجلة علمية محكمة

هيئة التحرير

رئيس هيئة التحرير

الأستاذ الهادي السعدي

أمين التحرير

الدكتور لحسن عبد الله باشيوه

أعضاء هيئة التحرير

أ. د. مختار الكوكي	أ. د. عبد الخالق التهامي	أ. د. فيصل الشعري
أ.م. د. سلوى محمود عسار	أ. د. احمد شاكر المتولى	أ.د. عيسى مصاروه
	أ. م. د. حميد بوزيدة	أ. م. د. حسان أبو حسان

أعضاء الهيئة الاستشارية

أ. د. عوض حاج علي	د. نبيل شمس	د. قاسم الزعبي
أ. د. ميثم العبي اسماعيل	د. خليفة البرواني	د. ضياء عواد
أ.م. د. محمد حسين علي الجنابي	أ. د. غازي رحو	د. لؤي شبانه
	د. علا عوض	

معتمدة في قائمة المجلات العلمية **Ulrich's**

www.ulrichsweb.com

مصنفة في معامل التأثير والمستشهادات المرجعية العربي (أرسيف)

www.emarefa.net/arcif/

ISSN 2522-64X (Online), ISSN 2519-948X (Print)

شروط النشر في مجلة العلوم الإحصائية

journal@aitrs.org / Info@aitrs.org

المحتويات

رقم الصفحة	اسم البحث والباحث	ت
1	بعض مقدرات الحرف الحصينة المبني على الفروق لأنموذج الانحدار شبه المعلمي وسام خالد سعيد /قسم الإحصاء، كلية الادارة والاقتصاد /جامعة بغداد رباب عبد الرضا صالح /قسم الإحصاء، كلية الادارة والاقتصاد /جامعة بغداد	1
24	مقارنة بعض طرائق تقدير انموذج سوامي ايلاف مجید حمید علي /قسم الاحصاء / كلية الادارة والاقتصاد الجامعة المستنصرية أ.م.د عدي طه رحيم / قسم الاحصاء / كلية الادارة والاقتصاد الجامعة المستنصرية	2
41	Topp-Leone Discrete Burr Type II Distribution: Properties and Applications Nahed M. Helmy, and Amel T. Alghnam Department of Statistics, Faculty of Commerce, AL-Azhar University Girls' Branch, Egypt Magda M. Ismail and Asmaa M. Abdallah Department of Statistics, Faculty of Commerce, AL-Azhar University (Girls' Branch), Tafahna Al-Ashraf, Egypt	3
63	Some methods for estimating the distribution of beta expanded with the application Hajer Falah Taheer & Dr. Rawaa Salh Al-Saffar Statistics department / College of Administration & Economics Mustansiriyah University	4
76	Comparison of some partial methods of the logistic regression model with the application Prof. Dr. Haifa Taha Abd and Soadad Rashied Hameed AL-Zuhairi Statistics department / College of Administration & Economics/ Mustansiriyah University	5

بعض مقدرات الحرف الحصينة

المبني على الفروق لأنموذج الانحدار شبه المعلمي

رباب عبد الرضا صالح

قسم الإحصاء، كلية الادارة والاقتصاد
جامعة بغداد

وسام خالد سعيد

قسم الإحصاء، كلية الادارة والاقتصاد
جامعة بغداد

تاريخ استلام البحث: 2023/08/02

تاريخ قبول البحوث: 2023/08/31

نشر البحث في العدد الثاني والعشرين: اذار / مارس 2024

رمز التصنيف ديوبي / النسخة الالكترونية (Online): 2522-64X/515.7

رمز التصنيف ديوبي / النسخة الورقية (Print): 2519-948X/515.7

بعض مقدرات الحرف الحصينة المبني على الفروق لأنموذج الانحدار شبه المعلمي

رباب عبد الرضا صالح
قسم الإحصاء، كلية الادارة والاقتصاد
جامعة بغداد

وسام خالد سعيد
قسم الإحصاء، كلية الادارة والاقتصاد
جامعة بغداد

المستخلص:

لقد لقيت نماذج الانحدار شبه المعلمية اهتماماً كبيراً في الآونة الأخيرة من قبل الباحثين بسبب كونها تجمع بين الطرائق المعلمية والطرائق اللامعلمية، وهي تهدف إلى إيجاد أفضل مقدرات. ومن أشهر هذه النماذج هو أنموذج الانحدار الخطي الجزئي partial linear regression (PLRM) model والذي يتكون من مركبة معلمية ومركبة لامعلمية، ومن أجل تقديم المركبة المعلمية تم استخدام طريقة الفروق والتي تعمل على إزالة المركبة اللامعلمية. وفي حالة عدم تحقق فرض التحليل سوف تعاني من مشاكل عديدة واهمها مشكلة التعدد الخطي شبه التام إضافة إلى وجود القيم الشاذة في البيانات.

وتم في هذا البحث معالجة مشكلة التعدد الخطي والقيم الشاذة في أنموذج الانحدار شبه المعلمي الجزئي، حيث تم استخدام المحاكاة لتوليد البيانات وبأحجام عينات مختلفة ولنسبة أربطةات وتلويث مختلفة ورتبة فروق من الدرجة الخامسة ($m=5$) ولطرائق مختلفة مثل [مقدار الحرف المبني على الفروق بالأعتماد على مقدر المربعات الصغرى المشذبة الحصينة مع مقدر نداريا واتسن (DRLTSNW)، مقدار الحرف المبني على الفروق بالأعتماد على مقدر المربعات الصغرى المشذبة الحصينة مع مقدر الشرائح التمهيدية (DRLTSSP)، مقدار الحرف المبني على الفروق بالأعتماد على مقدار المطلقة الصغرى المطلقة (DRLADNW)، مقدار الحرف المبني على الفروق بالأعتماد على مقدار الانحرافات واتسن (DRLADSP)] وباستخدام معيار متوسط الخطأ المطلق النسبي (MAPE)، وأظهرت النتائج أن طريقة مقدار الحرف المبني على الفروق بالأعتماد على مقدار الانحرافات المطلقة الصغرى الحصينة مع مقدر الشرائح التمهيدية (DRLADSP) هي الأفضل.

الكلمات المفتاحية: نماذج الانحدار شبه المعلمي، التعدد الخطي، القيم الشاذة، التقدير الحصين، مقدار الحرف المبني على الفروق، طريقة المربعات الصغرى المشذبة، طريقة الانحرافات المطلقة الصغرى، دوال كيرنل، مقدار نداريا واتسن، مقدار الشرائح التمهيدية.

Some robust estimations of difference-based Ridge estimator in semiparametric regression model

Abstract:

Semiparametric regression models have received great attention recently by researchers because they combine parametric and nonparametric methods, and they aim to find the best estimates. One of the most famous of these models is the partial linear regression model (PLRM), which consists of a parametric component and a nonparametric component, and in order to estimate the parametric component, the difference method was used, which removes the nonparametric component. In the event that the hypotheses of the analysis are not fulfilled, you will suffer from many problems, the most important of which is the problem of Semi multicollinearity, besides the multicollinearity, there are also outliers in the data.

In this research, the problem of multicollinearity and outliers was addressed in the semiparametric regression model, where simulation was used to generate data with different sample sizes and for different correlations and outlier ratios and difference rank ($m=5$) and for different methods such as [Difference Ridge based Least trimmed squares robust with Nadaraya – Watson (DRLTSNW), Difference Ridge based Least absolute deviation robust with Nadaraya – Watson (DRLADNW), Difference Ridge based Least trimmed squares robust with Smoothing spline (DRLTSSP), Difference Ridge based Least absolute deviation robust with Smoothing spline (DRLADSP)], the results showed that method Difference Ridge based Least absolute deviation robust with Smoothing spline (DRLADSP) is the best estimator.

Keywords: Semiparametric Regression Model, Multicollinearity, Outlier, Robust estimates, Difference-Based Ridge Estimator, Least trimmed squares, Least absolute deviation, Nadaraya – Watson estimator, Cubic Smoothing Spline estimator.

1- المقدمة وهدف البحث**1-1 المقدمة**

يعتبر الهدف الرئيسي من تحليل الانحدار هو تقدير الحالة التي تصف العلاقة ما بين المتغيرات من أجل تحديد تأثير المتغيرات التوضيحية على متغير الاستجابة بالإضافة إلى دراسة العلاقة بين المتغيرات وتصنيفها بأنموذج رياضي (Hens, 2005). تقسم نماذج الانحدار إلى ثلاثة نماذج رئيسية هي نماذج الانحدار المعلمية ونماذج الانحدار اللامعلمية ونماذج الانحدار شبه المعلمية. حيث في أنموذج الانحدار المعلمي يشترط معرفة التوزيع وتكون المعلمات فيه محدودة الابعاد (Mahmoud, 2019).

أما أنموذج الانحدار اللامعلمي فهو يعتبر أكثر مرونة لتحليل علاقة الانحدار ولا يشترط معرفة التوزيع (Chen, 1988). ومن عيوب الانحدار اللامعلمي هو أنه يعني من مشكلة الابعاد (curse of dimensionality)، لذا فيسبب الأسباب الآتية الذكر مما دفع الباحثين إلى استخدام نوع جديد من انوع الانحدار وهي نماذج الانحدار شبه المعلمية (semiparametric regression models SRM). وهي تعبر من النماذج المهمة لاستخدامها على نطاق واسع بسبب إمكانية الاستدلالات صحيحة عندما لا يتم تحقق شروط الانحدار، وتحتوي على جزئين أحدهما جزء معلمي وجزء لامعلمي (Fox, 2006).

ومن أهم نماذج الانحدار شبه المعلمية هو أنموذج الانحدار الجزئي Partial linear regression model (PLRM) والذي تم استخدامه على نطاق واسع وذلك بسبب التفسير السهل لتأثير كل متغير (Aydin, 2014).

وعند عدم تحقق فروض الانحدار سوف يعني أنموذج الانحدار من مشاكل مثل مشكلة التعدد الخطى والتي تحصل بسبب ارتباط اثنين او أكثر من المتغيرات التوضيحية بعلاقة خطية إضافة الى وجود مشكلة التعدد الخطى توجد مشكلة أخرى وهي وجود القيم الشاذة في البيانات مما يصعب استخدام طريقة المربعات الصغرى الاعتيادية (OLS) .

2- هدف البحث

تهدف الدراسة إلى معالجة مشكلة التعدد الخطى والقيم الشاذة في أنموذج الانحدار شبه المعلمى (الأنموذج الخطى الجزئي PLRM) والمقارنة بين مقدر الحرف المبني على الفروق بالأعتماد على الطرائق الحصينية (المربعات الصغرى المتشدبة والانحرافات المطلقة الصغرى) بأسعمال مقدر نداريا واتسن ومقدر الشرائح التمهيدية.

3- الدراسات السابقة

تناولت العديد من الدراسات مشكلة التعدد الخطى في نماذج الانحدار شبه المعلمية وتناولت بعض الطرائق الحصينية، وسوف يتم التطرق إلى بعض الدراسات السابقة وكما يلي :

ناقشت الباحث (Aydin 2007b) العديد من الطرائق اللامعلمية، مثل مقدر الشرائح التمهيدية ومقدر نداريا واتسن. وتم استخدام بيانات حقيقية تمثل بالنتائج القومى الإجمالي لتركيا وبيانات زراعة القلب في جامعة ستانفورد، حيث تم إجراء المقارنة بين المقدرين وثبت بأن مقدر الشرائح التمهيدية أفضل من مقدر نداريا واتسن (Aydin, 2007b).

درس الباحثان (Tabakan and Akdeniz 2010) مقدر الحرف القائم على الفروق لتقدير معاملات نموذج الانحدار الخطى الجزئي شبه المعلمى، حيث تمت مقارنته مع مقدر الفرق باستخدام بعض النظريات. وتم تطبيقه على بيانات حقيقية لـ (81) محطة توزيع كهرباء في

كندا. أظهرت نتائج متوسط مربع الخطأ (MSE) تفوق مقدر الحرف القائم على الفروق في معالجة مشكلة التعدد الخططي شبه التام (Tabakan and Akdeniz, 2010).

قدم الباحث (Akdeniz et al 2015) مقدر ليو (Liu) المعمم القائم على الفروق لتقدير متوجه المعلمات في نموذج الانحدار الخططي الجزئي شبه المعلمي في ظل وجود الأخطاء المترابطة ومشكلة التعدد الخططي شبه التام. وتمت مقارنة مقدر ليو (Liu) المعمم القائم على الفروق مع مقدر (Liu) المقيد القائم على الفروق المعمم باستخدام طريقة المحاكاة وباعتماد دالة المخاطر كمعيار للمقارنة. لخصت الدراسة إلى أن مقدر Liu المقيد المستند إلى الفروق المعمم أكثر كفاءة من مقدر Liu المقيد (Akdeniz et al., 2015).

درس الباحث (Roozbeh 2016) انحدار الحرف بناءً على طرق حصينة في وجود القيم الشاذة ومشكلة التعدد الخططي شبه التام في نموذج الانحدار شبه المعلمي. وتم تقديم بعض التقديرات الحصينة لمعامل الانكماش بناءً على طريقة المربعات الصغرى المشذبة (LTS). من أجل معرفة كفاءة المقدر المقترن (المقدر المعمم بالأعتماد على طريقة المربعات الصغرى المشذبة المقيدة)، تم تصميم دراسة المحاكاة والتطبيق على بيانات حقيقية، باستخدام دوال النواة (Kernel Smoothing) لتقدير الجزء اللامعلمي؛ واستنتج الباحث أن المقدر المقترن هو أفضل مقدر لأنه يمتلك على متوسط مربع خطأ (MSE) أقل (Roozbeh, 2016).

استخدم (Khorshid and Abboud 2018) طرقاً أخرى لتقدير معاملات الأنماذج ذي الحدين السالب، مثل طريقة انحدار الحرف المقدرة ومقدر نوع Liu، حيث يعتبر أنموذج الانحدار ذي الحدين السالب جزءاً من الأسرة الأساسية العامة ويعتبر نموذج غير خططي، وتم استخدام محاكاة مونت كارلو لمقارنة مقدر انحدار الحرف ومقدر Liu باستخدام معيار مقارنة متوسط مربع الخطأ (MSE)، حيث أظهر أن طريقة مقدر Liu أفضل من طريقة انحدار الحرف (Khorshid and Abboud, 2018).

قارن (2020) الانحدار الحصين من خلال الجمع بين انحدار الحرف والانحدار الحصين أو انحدار الحرف المعمم مع الانحدار الحصين. تم استخدام بيانات حقيقية تمثل متوسط سعر المنزل m في الإسكان في بوسطن، ونتائج تطبيق انحدار الحرف الحصين وأشارت إلى أن الدمج مع انحدار الحرف المعمم يعطي (MSE) أقل من انحدار الحرف. وبالتالي فإن مقدر انحدار الحرف مع المعمم أفضل من مقدر انحدار الحرف (Jeremia et al., 2020).

استخدم (Herawati et al 2022) مقدر الحرف بالأعتماد على طريقة الانحرافات المطلقة وتم استخدام محاكاة مونت كارلو وبأحجام عينات متنوعة ونسب قيم متطرفة متنوعة وتم الكشف عن وجود مشكلة التعدد الخططي عن طريق حساب قيمة الارتباط بين المتغيرات المستقلة وقيمة VIF، وتم الكشف عن وجود القيم الشاذة باستخدام boxplot، وأجريت المقارنة بين طريقة المربعات الصغرى الاعتيادية (OLS) وطريقة الحرف الأقل انحراف المطلق (RLAD) حيث تبين بأن (MSE) لطريقة (RLAD) أقل من طريقة (OLS). وهذا يدل على أن (RLAD) أكثر دقة في تقدير معاملات الانحدار لجميع أحجام العينات ولجميع مستويات القيم الشاذة (Herawati et al., 2022).

استخدم (Bahez and Rasheed 2022) بعض الطرائق اللامعلمية الحصينة لتقدير أنموذج الانحدار شبه المعلمي. وهذه الطرائق هي [تقدير M والمهد الخططي الموضعي (M-LLS)، تقدير S والمهد الخططي الموضعي (S-LLS)، تقدير M ومهد نداريا واتسن (M-NW)، تقدير

S وممهد نداريا واتسن (S-NW) []، وتم استخدام معيار متوسط مربع الخطأ (MSE) لمقارنة الطرائق. أثبتت النتائج أن طريقة (S-LLS) كانت الأفضل في معظم النماذج المستخدمة لأن لها (Bahez and Rasheed, 2022) منخفض (MSE).

2- طرائق التقدير الحصينة Robust estimation methods

في ظل وجود القيم الشاذة الطرائق الكلاسيكية لتقدير المعلمات لا تعطي تقديرات كفؤة، لذا يتم استخدام طرائق التقدير الحصينة والتي لا تتأثر بالقيم الشاذة وتستخدم في حالة انتهاك بعض الافتراضات الأساسية للتحليل، وهذه الطرائق الحصينة تكون أقل حساسية وأكثر مقاومة للقيم الشاذة والتي من خلالها يتم الحصول على أفضل نتائج لتقدير المعلمات (Irshayyid and Saleh, 2022; Irshayyid and Saleh, 2023).

يتم تعريف القيم الشاذة بأنها نقاط عشوائية وتمثل مشاهدة أو مجموعة من المشاهدات التي تكون خارج النمط الطبيعي للبيانات وتكون بعيدة عن أغلب نقاط البيانات الأخرى وهي لا تتوافق مع باقي البيانات (Abbas and Aboot, 2022).

1-2 طريقة المربيعات الصغرى المشدبة (LTS)

تعد طريقة المربيعات الصغرى المشدبة (LTS) والتي قدمها (Rousseeuw) في عام 1984، والتي تمتلك نقطة انهايار عالية، حيث نقطة الانهايار مقياس لقياس نسبة التلوث والتي تحافظ على متنانة المقدر (Rousseeuw and Leroy, 1987).

تعمل طريقة (LTS) على تصغير مجموع مربعات البوافي وذلك بعد أن يتم ترتيبها تصاعدي وبهذا يمكن حسابها من خلال الآتي:

$$\hat{\beta}_{LTS} = \arg \min \sum_{i=1}^h e_i^2 \quad (1)$$

حيث أن: e_i^2 : تمثل مربعات البوافي المرتبة من الأصغر إلى الأكبر.

$$e_{(1)}^2 \leq e_{(2)}^2 \leq \dots \leq e_{(n)}^2$$

h : تمثل عدد المشاهدات التي يتم اعتمادها بعد حذف القيم الشاذة (عدد البيانات التي لم يتم تشذيبها من مجموعة البيانات)، ويمكن تعريفها بالشكل التالي:

$$h = \left[\frac{n}{2} \right] + \left[\frac{p+1}{2} \right] \quad (2)$$

حيث أن: n : حجم العينة. p : عدد المعلمات.

طريقة (LTS) والتي تم توضيحيها في المعادلة (1) تعامل على استبعاد البوافي الكبيرة والمربيعة من المجموع، مما يسمح باستبعاد النقاط الشاذة للبيانات بشكل تام. وطريقة (LTS) تكافئ حسابياً طريقة (OLS) فهي تعامل بنفس آلية طريقة (OLS) لكنها تختلف عنها، حيث أن طريقة (LTS) قبل بدء عملية التقدير تعامل على حذف القيم الشاذة من البيانات. أما من حيث الانهايار فتعتبر طريقة (LTS) لها نقطة انهايار عالية تبلغ 50% (Alma, 2011).

بشكل عام قد تعتمد h على نسبة التشذيب α وذلك عن طريق:

$$h = [n(1 - \alpha)] + [\alpha(p + 1)] \quad (3)$$

حيث ان: α : نسبة التشذيب (النسبة المئوية للقيم الشاذة) (Kan et al., 2013)

خطوات خوارزمية (Rousseeuw and Van Driessen, 2006) :C-steps

1) تشخيص القيم الشاذة ومعرفة نسبتها المئوية من مجموع البيانات على ان لا تكون هذه النسبة أكبر من نقطة الانهيار (ϵ_n^*):

$$\epsilon_n^* = \frac{\frac{n-p}{2} + 1}{n}$$

2) تحديد أحجام المجموعات الجزئية من خلال $[n(1-\alpha)] + [\alpha(p+1)]$

3) حساب التوافيق $\binom{n}{h}$ من أجل اختيار h من n .

4) حساب مقدر (β) باستخدام طريقة المربيعات الصغرى الاعتيادية لكل مجموعة جزئية.

$$\hat{\beta}_{OLS} = (X^t X)^{-1} X^t Y$$

5) حساب قيمة الباقي (e_i) لكل مجموعة جزئية:

$$e_i = Y_i - X \hat{\beta}_{OLS}$$

6) يتم ترتيب القيم المطلقة للباقي من القيمة الاقل الى القيمة الاعلى وكما يلي:

$$|e_{(1)}^2| \leq |e_{(2)}^2| \leq \dots \leq |e_{(n)}^2|$$

7) يتم حساب مقدر $(\hat{\beta}_{LTS})$ من خلال الاعتماد على اقل قيمة للباقي للمقدرات والتي تم استخراجها في الخطوة (5).

2- طريقة الانحرافات المطلقة الصغرى (LAD)

هو طريقة يتم استخدامها لتقدير معاملات الانحدار الحصين، وهي تكون مقاومة للقيم الشاذة وذلك من خلال تقليل إجمالي القيمة المطلقة للباقي. والتي يمكن تعريفها بالشكل التالي:

$$\min \sum_{i=1}^n |\epsilon_i| = \min \sum_{i=1}^n |Y_i - X_i' \beta_{LAD}| \quad (4)$$

حيث في طريقة (LAD) يتم تقليل القيمة المطلقة للباقي بعكس طريقة (OLS) حيث أنها تقلل مجموع مربعات الباقي. وبالتالي سيكون تأثير القيم الشاذة لتقديرات طريقة (LAD) أقل تقديرات طريقة (OLS)، وحسب الصيغة التالية (Herawati et al., 2022):

$$\hat{\beta}_{LAD} = (X'WX)^{-1} X'WY \quad (5)$$

ويمكن كتابة الخوارزمية الخاصة بطريقة (LAD) بالشكل التالي (Thanoon, 2015) بالشكل التالي:

1) حساب المعلمة $\hat{\beta}^0$ بفرض قيم اولية مثل تقدير المربيعات الصغرى الاعتيادية OLS.

2) حساب الباقي: $e_i = y_i - \hat{y}_i$

3) حساب الارزان: حيث W هي مصفوفة قطرية.

$$w_{ij} = \begin{cases} \frac{1}{|e_i|} & \text{if } i = j \\ 1 & \text{if } i \neq j \end{cases}$$

4) حساب (LAD) من خلال المعادلة التالية:

$$\hat{\beta}_{LAD} = (X'WX)^{-1} X'WY$$

3- نماذج الانحدار شبه المعلمية (SRM):

تم تسمية نماذج الانحدار شبه المعلمية (SRM) semiparametric regression models من قبل الباحث (Oakes) في عام (1981) (Powell, 1994). تعتبر نماذج الانحدار شبه المعلمية (SRM) ذات مرونة عالية أكثر من الانحدار الخطى القياسي وذلك بسبب جمعها بين كل من المركبة المعلمية والمركبة اللامعلمية، حيث يكون متغير الاستجابة (المعتمد) Z يعتمد بطريقة خطية على المتغير التوضيحي X ، لكنه يرتبط بشكل غير خطى بمتغير توضيحي آخر (Duran and Akdeniz, 2013). ومن اهم نماذج الانحدار شبه المعلمى هو أنموذج الانحدار شبه المعلمى الجزئي (PLRM) والذي تم اقتراحه في عام (1988) من قبل الباحثان (Speckman, 1988; Al-Azzawi and Al-Always, (Robinson & Speckman) 2022).

يتكون (PLRM) من جزء خطى يمثل الانحدار المعلمى وجزء غير خطى يمثل الانحدار اللامعلمى (AL-Adilee and Aboudi, 2021). ويمكن كتابة الصيغة العامة لـ (PLRM) بالشكل التالي:

$$Y_i = \sum_{j=1}^p \beta_j X_{ij} g(Z_i) + \varepsilon_i, \quad i = 1, 2, \dots, n \quad (6)$$

ويمكن إعادة كتابة المعادلة (6) بصيغة المصفوفات بالشكل التالي:
 $Y = X\beta + g(Z) + \varepsilon \quad (7)$

حيث أن:

Y : متغير الاستجابة من الدرجة ($n \times 1$).

$X\beta$: الجزء المعلمى والذى يحتوى على:

X : المتغير التوضيحي من الدرجة ($n \times p$).

β : موجه المعلم من الدرجة ($p \times 1$).

$g(Z)$: الجزء اللامعلمى (دالة تمهيدية غير معروفة) من الدرجة ($n \times 1$).

Z : المتغير اللامعلمى (متغير مستمر) من الدرجة ($n \times 1$).

ε : متوجه الأخطاء العشوائية (مستقلة ومتماطلة التوزيع) من الدرجة ($n \times 1$), بمتوسط $E(\varepsilon) = 0$ وتباعين ثابت $Var(\varepsilon) = \sigma^2$ (Aydin, 2014).

4- طرائق تقدير أنموذج الانحدار شبه المعلمى 4-1 طريقة الفروق: Differencing method

تم اقتراح هذه الطريقة في عام (2003) من قبل الباحث (Yatchew)، وستستخدم طريقة الفروق في تقدير المركبة المعلمية في أنموذج الانحدار الجزئي شبه المعلمى (PLRM) من خلال إزالة تأثير المركبة اللامعلمية (Yatchew, 2003).

حيث يتم أنشاء مصفوفة الفروق (differencing matrix) ذات الربطة $[(n - m) \times n]$ ذات الدرجة $[n \times n]$ بالشكل التالي:

$$D = \begin{bmatrix} d_0 & d_1 & d_2 & \cdots & d_m & 0 & \cdots & \cdots & 0 \\ 0 & d_0 & d_1 & d_2 & \cdots & d_m & 0 & \cdots & 0 \\ \vdots & \vdots \\ 0 & \cdots & \cdots & d_0 & d_1 & d_2 & \cdots & d_m & 0 \\ 0 & 0 & \cdots & \cdots & d_0 & d_1 & d_2 & \cdots & d_m \end{bmatrix}$$

يمكن إنشاء مصفوفة الفروق من خلال الصيغة التالية:

الصيغة (1): $[d^t, 0_{n-m-1}^t]$ والتي تستخدم لإنشاء الصف الأول.

الصيغة (2): $[0_{n-m-1}^t, d^t]$ والتي تستخدم لإنشاء الصف الآخرين.

الصيغة (3): $[0_i^t, d^t, 0_{n-m-1}^t]$ والتي تستخدم لإنشاء بقية الصفوف الأخرى.

حيث أن: $i = 2, \dots, (n - m - 1)$

0_r يمثل متوجه صفرى (Duran et al., 2012; Duran and Akdeniz, 2013; Wu, 2016) حيث تمثل الأوزان التي تحقق الشرطان الآتيان:

$$\sum_{j=0}^m d_j = 0 \quad \sum_{j=0}^m d_j^2 = 1 \quad (\text{Hussein, 2019}).$$

وبعد تطبيق طريقة الفروق على أنموذج (PLRM) يصبح الأنماذج بالشكل التالي:

$$\tilde{Y} \approx \tilde{X}\beta + \tilde{\epsilon} \quad (8)$$

حيث:

$$\tilde{Y} = DY, \quad \tilde{X} = DX, \quad \tilde{\epsilon} = D\epsilon$$

\tilde{Y} : متوجه المشاهدات لمتغير الاستجابة من الدرجة $[(n - m) \times 1]$.

\tilde{X} : مصفوفة المشاهدات للمتغيرات التوضيحية من الدرجة $[(n - m) \times p]$.

β : متوجه المعلمات المجهولة من الدرجة $[p \times 1]$.

D : مصفوفة الفروق من الدرجة $[(n - m) \times n]$.

n : عدد المشاهدات. m : رتبة الفروق.

$\tilde{\epsilon}$: متوجه الاخطاء العشوائية من الدرجة $[(n - m) \times 1]$. Akdeniz et al., 2105)

يضمن الشرط الأول لمقدار الفروق أن يتم إزالة التأثير اللامعليمي في معادلة الانحدار، أما الشرط الثاني هو أن تباين الباقي لا يتأثر بإزالة التأثير اللامعليمي (لأنه يبقى نفس قيمته الاصلية في أنموذج الانحدار شبه المعلمى) (Yatchew, 1997).

وبالتالي وبعد أن تم اختزال الجزء اللامعليمي . حيث تم اقتراح طريقة (Yatchew) لتقدير المعلمات بواسطة استخدام طريقة المربعات الصغرى بالاعتماد على مقدار الفروق والذي يكتب كالتالي:

$$\hat{\beta}_{\text{diff}} = (\tilde{X}^t \tilde{X})^{-1} \tilde{X}^t \tilde{Y} \quad (9)$$

اما بالنسبة الى تباين الخطأ بالاعتماد على مقدار الفروق فيكتب بالشكل التالي (Duran and Akdeniz, 2013)

$$\sigma_{\text{diff}}^2 = \frac{1}{n} (Y - X\hat{\beta}_{\text{diff}})^t D^t D (Y - X\hat{\beta}_{\text{diff}}) \quad (10)$$

قام الباحثان (Turkmen & Tabakan) في عام (2015) في ظل وجود القيم المتطرفة في البيانات لأنماذج الانحدار شبه المعلمى بتوظيف طريقة الفروق مع الطرائق الحصينة بالإضافة (Turkmen and Tabakan, 2015) لاستخراج مقدار الشرائح التمهيدية وتم إنشاء خوارزمية مقترنة.

اما في موضوع دراستنا س يتم توظيف طريقة الفروق مع الطرائق الحصينة (LTS, LAD) لأنموذج الانحدار شبه المعلمي بوجود القيم الشاذة إضافة الى وجود مشكلة التعدد الخطى، وسيتم تعديل الخوارزميات للطرق الحصينة بالأعتماد على مصفوفة الفروق وكما يلى: حيث يتم ضرب مصفوفة الفروق بمصفوفة المتغيرات التوضيحية (X) لتصبح بالشكل التالي: $\tilde{X} = DX$ ويتم ضرب مصفوفة الفروق بمتجه متغير الاستجابة (Y) ليصبح بالشكل التالي: $\tilde{Y} = DY$ ومن ثم يتم تعديل الخوارزميات الخاصة بالطرائق الحصينة بالأعتماد على (\tilde{X}, \tilde{Y}).

1-1-4 مقدر الحرف المبني على الفروق (DR) **Difference based ridge estimator (DR)** تمت مناقشة طريقة انحدار الحرف من قبل الباحثين (Hoerl & Kennard) في عام 1970، وهي تعتبر من الأكثر الطرائق استخداماً مع مشكلة التعدد الخطى، حيث تخلص هذه الطريقة بإضافة كمية موجبة صغيرة إلى عناصر القطر الرئيسي لمصفوفة المعلومات (Abdul-Hafez and Rashid, 2013; Husein, 2016; Khorshid and Abboud, 2018; Khazal and Kamal, 2019)

تم اقتراحه في عام (2010) من قبل الباحثان (Tabakan & Akdeniz)، حيث قاما الباحثان بتوظيف طريقة الفروق الخاصة بالباحث (Yatchew) في انحدار الحرف الاعتيادي وتم الحصول على انحدار الحرف المبني على الفروق (Tabakan and Akdeniz, 2010).

ويمكن كتابة صيغة مقدر الحرف المبني على الفروق بالأعتماد على المعادلة (8) بالشكل التالي:

$$\hat{\beta}_{\text{Ridge}}^{\text{diff}} = (\tilde{X}^t \tilde{X} + KI)^{-1} \tilde{X}^t \tilde{Y} \quad (11)$$

حيث:

\tilde{Y} : متوجه المشاهدات لمتغير الاستجابة بدرجة $[n-m] \times 1$.

\tilde{X} : مصفوفة المشاهدات للمتغيرات التوضيحية بدرجة $[(n-m) \times p]$.

β : متوجه المعلمات بدرجة $(p \times 1)$.

D : مصفوفة الفروق بدرجة $[(n-m) \times n]$.

I : مصفوفة الوحدة بدرجة $(p \times p)$.

K : معلمة الحرف وهي قيمة ثابتة $0 < K$.

n : حجم العينة.

\hat{Q} : متوجه الأخطاء العشوائية بدرجة $[(n-m) \times 1]$.

1-1-4 مقدر الحرف المبني على الفروق بالأعتماد على طريقة المربعات الصغرى المشدبة:

Difference based ridge estimator based Least trimmed square estimation (DRLTS):

اقتراح الباحث (Kan) وآخرون في عام (2012) مقدر انحدار الحرف الحصين بالأعتماد على طريقة المربعات الصغرى المشدبة LTS. ويمكن كتابة مقدر (RLTS) بالشكل التالي (Kan and Yazıcı, 2013)

$$\hat{\beta}_{\text{Ridge}}^{\text{diff}}(\text{LTS}) = (\tilde{X}^t \tilde{X} + K_{\text{LTS}} I)^{-1} \tilde{X}^t \tilde{Y} \quad (12)$$

ويتم حساب قيمة معلمةحرف الحصينة \widehat{K}_{LTS} بالشكل التالي:

$$\widehat{K}_{LTS} = \frac{p\sigma_d^2(LTS)}{\widehat{\beta}_{LTS}^t \widehat{\beta}_{LTS}} , \quad \widehat{\beta}_{LTS} \neq 0 \quad (13)$$

ولحساب قيمة التباين لطريقة (LTS) الحصينة المبنية على الفروق نستخدم الصيغة التالية : (Duran and Akdeniz, 2013)

$$\sigma_d^2(LTS) = \frac{1}{n} (Y - X\widehat{\beta}_{LTS})^t D^t D (Y - X\widehat{\beta}_{LTS}) \quad (14)$$

2-1-1-4 مقدرحرف المبني على الفروق بالاعتماد على طريقة الانحرافات المطلقة الصغرى:

Difference based ridge estimator based Least absolute deviation estimation (DRLAD):

اقتراح الباحثان (Pfaffenberger & Dielman) في عام (1990) مقدرأحدار حرف حصين بحيث يجمع هذا المقدر بين خصائص مقدرحرف (Ridge) ومقدر الانحرافات المطلقة الصغرى (LAD) يستخدم في حالة وجود مشكلة التعدد الخطى ووجود القيم الشاذة في البيانات، حيث يسمى هذا المقدر بمقدرحرف بالاعتماد على الانحرافات المطلقة الصغرى (RLAD). (SAMKAR and ALPU, 2010)

يمكن كتابة مقدر (RLAD) بالشكل التالي (Herawati et al., 2022):

$$\widehat{\beta}_{Ridge}^{diff}(LAD) = (\widetilde{X}^t \widetilde{X} + K_{LAD} I)^{-1} \widetilde{X}^t \widetilde{Y} \quad (15)$$

حيث يتم حساب قيمة معلمةحرف الحصينة \widehat{K}_{LAD} بالشكل التالي (Herawati et al., 2022):

$$\widehat{K}_{LAD} = \frac{p\sigma_d^2(LAD)}{\widehat{\beta}_{LAD}^t \widehat{\beta}_{LAD}} , \quad \widehat{\beta}_{LAD} \neq 0 \quad (16)$$

ولحساب قيمة التباين لطريقة (LAD) الحصينة المبنية على الفروق نستخدم الصيغة التالية : (Duran and Akdeniz, 2013)

$$\sigma_d^2(LAD) = \frac{1}{n} (Y - X\widehat{\beta}_{LAD})^t D^t D (Y - X\widehat{\beta}_{LAD}) \quad (17)$$

5) طرائق تقديرأنموذج الانحدار اللامعملي

Methods for estimating a nonparametric regression model:

تم اقتراح الانحدار اللامعملي من قبل الباحث (Jacob Wolfowitz) في عام (1942م) (Kvam et al., 2022). في النماذج اللامعممية، لا يتطلب معرفة توزيع البيانات، وهذه النماذج لا تحتوي أبداً على معلمات. حيث تكون العلاقة بين المتغيرات التفسيرية ومتغير الاستجابة غير معروفة (Mahmoud, 2019).

يمكن كتابة الصيغة العامة للانحدار اللامعملي بالشكل التالي (Ali et al., 2020; Hameed and Khalaf, 2021):

$$Y_i = g(Z_i) + \varepsilon_i , \quad i = 1, 2, \dots, n \quad (18)$$

حيث: $g(Z_i)$: دالة التمهيد غير معروفة.

1-5 دالة النواة (مقدر نداريا – واتسن):

Kernel function (Nadaraya – Watson estimator) (N.W):

يعتبر هذا المقدر من أكثر المقدرات التي تستعمل في عملية تقدير أنموذج الانحدار اللامعملي، وتم اقتراحه في عام (1964) من قبل الباحثين (Nadaraya- Watson)، وهذا المقدر يعتمد على متسلسلة الاوزان، ويستخدم في حالتي التصميم الثابت والتصميم العشوائي (Aydin, 2007a).

يمكن كتابة خصائص دالة kernel المستخدمة مع مقدر (N.W) بالشكل التالي (Demir and Toktamiş, 2010; Al-Tai and Al-Kazaz, 2022)

$$\int k(z)dz = 1, (2) \int zk(z)dz = 0, (3) \int z^2k(z)dz = 0, \forall z = 1,3, \dots, k-1 \quad (18)$$

والصيغة العامة لمقدر (Nadaraya-Watson) تكتب بالشكل التالي (Härdle et al., 2004; Bahez and Rasheed, 2022)

$$\hat{g}(Z_i) = \frac{\sum_{i=1}^n K_h(z - Z_i) Y_i^*}{\sum_{i=1}^n K_h(z - Z_i)} \quad (19)$$

ويمكن إعادة كتابة المعادلة (19) بصيغة المصفوفات بالشكل التالي (Khalaf and Mohammed, 2023)

$$\hat{g}(Z_i) = W_h(z) Y_i^* \quad (20)$$

حيث: $K_h(z - Z_i)$: تمثل دالة كيرنل.

$$Y_i^* = Y_i - X_i \hat{\beta}_{\text{Ridge(LTS or LAD)}}^{\text{diff}}$$

h : عرض الحزمة أو معلمة التمهيد.

$W_h(z)$: دالة الوزن لممهد نداريا – واتسن.

2-5 مقدر الشرائح التمهيدية :Cubic Smoothing Spline estimator

يرجع تسمية الشرائح التمهيدية الى الباحث (Whittaker) في عام (1923)، وللحصول على معيار المربعات الصغرى الجزائية يتم إضافة دالة الجزاء (penalty function) الى مجموع مربعات الباقي وكما يلي:

$$S_\lambda(g) = \sum_{i=1}^n (y_i - x'_i \beta - g(z_i))^2 + \lambda \int (g''(z))^2 dz \quad (21)$$

حيث أن: λ : معلمة التمهيد (Smoothing Parameter) (Härdle, 1994).

حيث يعتبر الحد الاول من المعادلة اعلاه هو مجموع مربعات الباقي. اما الحد الثاني من المعادلة اعلاه يمثل حد الجزاء ويكون موزون بمعلمة التمهيد λ (Aydin, 2007b). تعتمد فكرة طريقة التقدير على تقليل جزأين رئيسيين للحصول على المنحنى أفضل. الجزء الأول هو مجموع مربعات الباقي، والجزء الثاني هو حد الجزاء (Habeeb et al., 2021).

عندما تكون قيمة معلمة التمهيد مساوية الى الصفر $0 \rightarrow \lambda$ في هذه الحالة يكون مجموع مربعات الباقي هو الذي يوضح البيانات، بمعنى اخر سوف يختفي حد الجزاء من المعادلة. اما إذا كانت قيمة معلمة التمهيد كبيرة جدا $\infty \rightarrow \lambda$ في هذه الحالة سيكون مقدر المربعات

الصغرى الجزئية طاغيا على مجموع مربعات الباقي (Aydin, 2007a; Katea and Hmood, 2014).

عموماً يعد تحديد موضع العقد وتحديد الجزاء (penalty) امرین مهمین عند دراسة الشرائط التمهیدية، حيث ان الفرق بين الشرائط التمهیدية (smoothing spline) وشرائط الانحدار (regression spline) هو ان الشرائط التمهیدية تعتبر ان المشاهدات هي نفسها العقد، اي (Knot=n)، بينما شرائط الانحدار (regression spline) يتم اختيار العقد بشكل اختياري (Hens, 2005; Burhan and Hmood, 2005; Knot< n, اي بحذف العقد غير الاساسية، 2018).

تم فرض ان هناك n من المشاهدات (z_1, z_2, \dots, z_n) في الفترة $[a, b]$ ، وان الدالة g في الفترة $[a, b]$ سوف تمثل شريحة تكعيبية (cubic spline) في حالة تحقق الشرطان الآتيان : (1) في الفترة (z_n, b) ... (z_1, a) تكون الدالة g شرائط تكعيبية متعددة الحدود (polynomial cubic spline).

(2) ان متعدد الحدود القطعية (polynomial pieces) يكون ملائم (fitting) في النقطة z_i في الدالة g و g' و g'' و مستمرة في نقاط z_i ، اي ان الدالة g تكون مستمرة في الفترة $[a, b]$ (Ibrahim and Suliadi, 2010).

بالاعتماد على صيغة المصروفات فيمكن تمثيل المقدر كما في الصيغة الآتية:

$$\hat{g}_\lambda = S_\lambda \underline{y} \quad (22)$$

حيث أن:

λ : تمثل معلمة تمھید للشريحة.

S_λ : تشير الى مصفوفة تمھید معرفة موجبة ومرعية من الدرجة $(n \times n)$ فنحصل على تقدير \hat{g} بطريقة الشريحة التمهیدية التكعيبية (Cubic Smoothing Spline) للقيمة λ للجزء اللامعملي فيكون المقدر كالتالي:

$$\hat{g} = S_\lambda (y_i - x'_i \hat{\beta}^{\text{diff}}) \quad (23)$$

$$\hat{g} = S_\lambda y_i^* \quad (24)$$

حيث أن:

$$y_i^* = y_i - x'_i \hat{\beta}^{\text{diff}}_{\text{ridge}} \text{ (LTS or LAD)}$$

S_λ : مصفوفة التمهید وهي مصفوفة معرفة وغير سالبة متتماثلة بدرجة $(n \times n)$ وتعتمد على قيمة λ وقيم z_i ولا يعتمد على قيم y_i (Bickel et al., 2009).

6- المحاكاة :Simulations

تضمنت تجارب المحاكاة لهذه الدراسة لغة (MATLAB) لتوليد بيانات محاكاة لمقارنة الطرائق (DRLTSNW, DRLADNW, DRLTSSP, DRLADSP) بأحجام عينات مختلفة ($n_1 = 50$, $n_2 = 100$, $n_3 = 150$) ($\tau_1 = 10\%$, $\tau_2 = 20\%$, $\tau_3 = 30\%$) ($\rho_1 = 0.50$, $\rho_2 = 0.60$, $\rho_3 = 0.70$, $\rho_4 = 0.80$, $\rho_5 = 0.90$) ($\beta_1 = 1.5$, $\beta_2 = -1.5$, $\beta_3 = 1$, $\beta_4 = 2$)، وأربعة متغيرات توضيحية ($X1, X2, X3, X4, Z$) يتم إنشاؤها باستخدام الطريقة (Box-Muller)، وتم تكرار كل تجربة 500 مرة.

تم استخدام معيار متوسط الخطأ المطلق النسبي (MAPE)، وهو المقياس الأكثر استخداماً للتنبؤ بالأخطاء، يقيس الدقة كنسبة مئوية. يمكن حسابه من خلال المعادلة التالية:

$$MAPE = \frac{1}{n} \sum_{i=1}^n \left| \frac{Y_i - \hat{Y}_i}{Y_i} \right| \quad (25)$$

تم استخدام ثلاثة نماذج مختلفة لتوليد مكون لامعلي (Z)، كما هو موضح في الجدول (9-1):

- 1) $\hat{g}(Z_i) = 0.5 \sin(2 \pi Z)$
- 2) $\hat{g}(Z_i) = \sin(2Z) + 2e^{(-16Z^2)}$
- 3) $\hat{g}(Z_i) = e^{(-(Z-0.5)^2)}$

وتم استعمال معاملات الفروق من الرتبة الخامسة ($m=5$) وبمعاملات الفروق التالية: (Yatchew, 2003) (0.9064, -0.2600, -0.2167, -0.1774, -0.1420, -0.1103)

7- التحليل والنتائج :Analysis and results

جدول (1): متوسط النسبة المطلقة للخطأ (MAPE)، عندما تكون نسبة التلوث 10% للأنموذج الأول:

n	ρ	DRLTSNW	DRLTSSP	DRLADNW	DRLADSP	Best
50	0.5	0.525942167	0.814934484	0.799754441	0.020505592	DRLADSP
	0.6	0.529079368	0.819136202	0.489373103	9.24427E-06	DRLADSP
	0.7	0.524211015	0.81716077	0.395279823	5.56402E-07	DRLADSP
	0.8	0.526161145	0.817631795	0.316789628	3.96907E-08	DRLADSP
	0.9	0.532376985	0.819987881	0.29081918	1.47127E-08	DRLADSP
100	0.5	0.519363758	0.873111824	0.830694593	0.00681639	DRLADSP
	0.6	0.520979667	0.873332905	0.508474464	5.38522E-08	DRLADSP
	0.7	0.515718325	0.872284074	0.412103505	1.0984E-09	DRLADSP
	0.8	0.518093464	0.876643941	0.329522464	1.35305E-11	DRLADSP
	0.9	0.520099652	0.874415043	0.30531601	4.07182E-12	DRLADSP
150	0.5	0.513027311	0.902658339	0.8468508	0.002352307	DRLADSP
	0.6	0.515294809	0.903448224	0.520062349	5.29595E-10	DRLADSP
	0.7	0.512437729	0.906257001	0.420882174	2.66201E-12	DRLADSP
	0.8	0.514851077	0.904562259	0.334910536	5.01805E-15	DRLADSP
	0.9	0.511974443	0.905304297	0.313787207	1.35333E-15	DRLADSP

أظهرت نتائج جدول (1) لأنموذج الانحدار شبه المعلميالجزئي الأول وعند نسبة تلوث (10%) ولجميع احجام العينات ($n=50, 100, 150$) ولكل مستويات معامل الارتباط ($p=0.5, 0.6, 0.7, 0.8, 0.9$) ان أفضل مقدر هو (DRLADSP) لأنه يمتلك أقل متوسط خطأ مطلق نسبي (MAPE).

جدول (2): متوسط النسبة المطلقة للخطأ (MAPE)، عندما تكون نسبة التلوث 20%
للنموذج الأول:

n	ρ	DRLTSNW	DRLTSSP	DRLADNW	DRLADSP	Best
50	0.5	0.292446427	0.67128683	0.643021385	0.000740314	DRLADSP
	0.6	0.296938266	0.677430199	0.245727306	8.3294E-10	DRLADSP
	0.7	0.289311594	0.673958753	0.162400638	9.87834E-12	DRLADSP
	0.8	0.293699387	0.675559582	0.106868825	1.55443E-13	DRLADSP
	0.9	0.299431979	0.678612715	0.09064394	1.98445E-14	DRLADSP
100	0.5	0.279271466	0.765850308	0.6915495	8.60517E-05	DRLADSP
	0.6	0.281780986	0.766170075	0.26252015	9.00103E-14	DRLADSP
	0.7	0.27597944	0.764614191	0.174287408	7.54746E-17	DRLADSP
	0.8	0.278707543	0.771701124	0.112982467	4.86479E-20	DRLADSP
	0.9	0.281174782	0.768156876	0.097656392	2.90951E-21	DRLADSP
150	0.5	0.270818464	0.816797918	0.717994516	1.05126E-05	DRLADSP
	0.6	0.272999804	0.818359396	0.273501483	8.33229E-18	DRLADSP
	0.7	0.269641315	0.823217409	0.180404765	2.3344E-21	DRLADSP
	0.8	0.272077629	0.820238997	0.115479436	1.10979E-26	DRLADSP
	0.9	0.268905403	0.821596824	0.101591658	4.66519E-28	DRLADSP

أظهرت نتائج جدول (2) لأنموذج الانحدار شب المعلمي الجزئي الأول وعند نسبة تلوث (20%)
ولجميع أحجام العينات (50, 100, 150) ($n=50, 100, 150$) ولكل مستويات معامل الارتباط ($\rho=0.5, 0.6, 0.7, 0.8, 0.9$)
أن أفضل مقدر هو (DRLADSP) لأنه يمتلك أقل متوسط خطأ مطلق نسي (MAPE).

جدول (3): متوسط النسبة المطلقة للخطأ (MAPE)، عندما تكون نسبة التلوث 30% للنموذج الأول:

n	ρ	DRLTSNW	DRLTSSP	DRLADNW	DRLADSP	Best
50	0.5	0.525942167	0.814934484	0.799754441	0.020505592	DRLADSP
	0.6	0.529079368	0.819136202	0.489373103	9.24427E-06	DRLADSP
	0.7	0.524211015	0.81716077	0.395279823	5.56402E-07	DRLADSP
	0.8	0.526161145	0.817631795	0.316789628	3.96907E-08	DRLADSP
	0.9	0.532376985	0.819987881	0.29081918	1.47127E-08	DRLADSP
100	0.5	0.519363758	0.873111824	0.830694593	0.00681639	DRLADSP
	0.6	0.520979667	0.873332905	0.508474464	5.38522E-08	DRLADSP
	0.7	0.515718325	0.872284074	0.412103505	1.0984E-09	DRLADSP
	0.8	0.518093464	0.876643941	0.329522464	1.35305E-11	DRLADSP
	0.9	0.520099652	0.874415043	0.30531601	4.07182E-12	DRLADSP
150	0.5	0.513027311	0.902658339	0.8468508	0.002352307	DRLADSP
	0.6	0.515294809	0.903448224	0.520062349	5.29595E-10	DRLADSP
	0.7	0.512437729	0.906257001	0.420882174	2.66201E-12	DRLADSP
	0.8	0.514851077	0.904562259	0.334910536	5.01805E-15	DRLADSP
	0.9	0.511974443	0.905304297	0.313787207	1.35333E-15	DRLADSP

أظهرت نتائج جدول (3) لأنموذج الانحدار شبه المعلمي الجزيئي الأول وعند نسبة تلوث (30%) ولجميع احجام العينات (50, 100, 150) (n=50, 100, 150) ولكل مستويات معامل الارتباط (p=0.5, 0.6, 0.7, 0.8, 0.9) ان أفضل مقدر هو (DRLADSP) لأنه يمتلك أقل متوسط خطأ مطلق نسبي (MAPE).

جدول (4): متوسط النسبة المطلقة للخطأ (MAPE)، عندما تكون نسبة التلوث 10% للأنموذج الثاني:

n	ρ	DRLTSNW	DRLTSSP	DRLADNW	DRLADSP	Best
50	0.5	1.057920991	0.904680872	0.713959245	0.002883194	DRLADSP
	0.6	1.049443424	0.903523825	0.273464489	1.06628E-08	DRLADSP
	0.7	1.051479112	0.898915345	0.179629854	1.27259E-10	DRLADSP
	0.8	1.064852963	0.903656461	0.11441879	1.76108E-13	DRLADSP
	0.9	1.054490252	0.903882787	0.101581663	8.50066E-15	DRLADSP
100	0.5	1.038867279	0.935359012	0.741799759	0.000388375	DRLADSP
	0.6	1.036212194	0.93481777	0.282627726	3.18885E-13	DRLADSP
	0.7	1.028871014	0.936220667	0.187395285	6.5367E-16	DRLADSP
	0.8	1.046418467	0.932814062	0.117624217	5.46346E-20	DRLADSP
	0.9	1.033780443	0.936125409	0.105260143	1.39728E-20	DRLADSP
150	0.5	1.01498416	0.950957716	0.758691427	4.63026E-05	DRLADSP
	0.6	1.022735776	0.950428739	0.290161196	5.15668E-17	DRLADSP
	0.7	1.021244519	0.951402642	0.190185779	3.26195E-22	DRLADSP
	0.8	1.030250731	0.951166278	0.120713362	3.89241E-26	DRLADSP
	0.9	1.022194106	0.949360356	0.107151887	6.06743E-28	DRLADSP

أظهرت نتائج جدول (4) لأنموذج الانحدار شبه المعلمي الجزيئي الثاني وعند نسبة تلوث (10%) ولجميع احجام العينات (50, 100, 150) (n=50, 100, 150) ولكل مستويات معامل الارتباط (p=0.5, 0.6, 0.7, 0.8, 0.9) ان أفضل مقدر هو (DRLADSP) لأنه يمتلك أقل متوسط خطأ مطلق نسبي (MAPE).

جدول (5): متوسط النسبة المطلقة للخطأ (MAPE)، عندما تكون نسبة التلوث 20% للأنموذج الثاني:

n	ρ	DRLTSNW	DRLTSSP	DRLADNW	DRLADSP	Best
50	0.5	1.184343702	0.820633519	0.51346898	2.13563E-05	DRLADSP
	0.6	1.166308014	0.81862192	0.080698467	3.66525E-14	DRLADSP
	0.7	1.173477986	0.810744105	0.037175313	3.48771E-18	DRLADSP
	0.8	1.198414368	0.818842223	0.015948782	1.30565E-23	DRLADSP
	0.9	1.174331934	0.819258513	0.012669874	6.70446E-27	DRLADSP
100	0.5	1.119788631	0.875850369	0.552280964	5.50148E-07	DRLADSP
	0.6	1.111998222	0.874919368	0.083822244	5.75949E-24	DRLADSP
	0.7	1.097273363	0.877443955	0.038196777	1.63721E-28	DRLADSP

	0.8	1.135490403	0.871287177	0.01587131	1.46073E-36	DRLADSP
	0.9	1.106952068	0.877255804	0.012861918	1.40317E-37	DRLADSP
150	0.5	1.053307053	0.904981793	0.576789277	7.39689E-09	DRLADSP
	0.6	1.074005609	0.903870942	0.087338555	3.68778E-31	DRLADSP
	0.7	1.070136256	0.905761798	0.038461023	1.98211E-41	DRLADSP
	0.8	1.087474216	0.905328255	0.016029353	1.0235E-48	DRLADSP
	0.9	1.073133455	0.901871071	0.012884582	2.26867E-52	DRLADSP

أظهرت نتائج جدول (5) لأنموذج الانحدار شبه المعلميالجزئي الثاني وعند نسبة تلوث (%) 20 ولجميع احجام العينات (n=50, 100, 150) ولكن مستويات معامل الارتباط (DRLADSP) افضل مقدر هو (p=0.5, 0.6, 0.7, 0.8, 0.9) لأنه يمتلك أقل متوسط خطأ مطلق نسبي (MAPE).

جدول (6): متوسط النسبة المطلقة للخطأ (MAPE)، عندما تكون نسبة التلوث 30% للأنموذج الثاني:

n	ρ	DRLTSNW	DRLTSSP	DRLADNW	DRLADSP	Best
50	0.5	1.057920991	0.904680872	0.713959245	0.002883194	DRLADSP
	0.6	1.049443424	0.903523825	0.273464489	1.06628E-08	DRLADSP
	0.7	1.051479112	0.898915345	0.179629854	1.27259E-10	DRLADSP
	0.8	1.064852963	0.903656461	0.11441879	1.76108E-13	DRLADSP
	0.9	1.054490252	0.903882787	0.101581663	8.50066E-15	DRLADSP
100	0.5	1.038867279	0.935359012	0.741799759	0.000388375	DRLADSP
	0.6	1.036212194	0.93481777	0.282627726	3.18885E-13	DRLADSP
	0.7	1.028871014	0.936220667	0.187395285	6.5367E-16	DRLADSP
	0.8	1.046418467	0.932814062	0.117624217	5.46346E-20	DRLADSP
	0.9	1.033780443	0.936125409	0.105260143	1.39728E-20	DRLADSP
150	0.5	1.01498416	0.950957716	0.758691427	4.63026E-05	DRLADSP
	0.6	1.022735776	0.950428739	0.290161196	5.15668E-17	DRLADSP
	0.7	1.021244519	0.951402642	0.190185779	3.26195E-22	DRLADSP
	0.8	1.030250731	0.951166278	0.120713362	3.89241E-26	DRLADSP
	0.9	1.022194106	0.949360356	0.107151887	6.06743E-28	DRLADSP

أظهرت نتائج جدول (6) لأنموذج الانحدار شبه المعلميالجزئي الثاني وعند نسبة تلوث (%) 30 ولجميع احجام العينات (n=50, 100, 150) ولكن مستويات معامل الارتباط (DRLADSP) افضل مقدر هو (p=0.5, 0.6, 0.7, 0.8, 0.9) لأنه يمتلك أقل متوسط خطأ مطلق نسبي (MAPE).

جدول (7): متوسط النسبة المطلقة للخطأ (MAPE)، عندما تكون نسبة التلوث 10% للأنموذج الثالث:

n	ρ	DRLTSNW	DRLTSSP	DRLADNW	DRLADSP	Best
50	0.5	1.272385579	0.919085587	0.680429789	0.001283138	DRLADSP
	0.6	1.27345966	0.917955395	0.212799378	8.95345E-10	DRLADSP
	0.7	1.272642852	0.917196677	0.129210564	1.71831E-12	DRLADSP
	0.8	1.278373559	0.919817486	0.07797047	2.42676E-15	DRLADSP
	0.9	1.266676149	0.915332726	0.067893031	1.16962E-14	DRLADSP
100	0.5	1.243365974	0.945664692	0.709181704	0.000121734	DRLADSP
	0.6	1.251764065	0.945902894	0.222103115	4.01075E-15	DRLADSP
	0.7	1.239800501	0.944696808	0.135924404	2.76672E-18	DRLADSP
	0.8	1.238867096	0.943368244	0.081799412	5.00716E-24	DRLADSP
	0.9	1.248674567	0.946645089	0.067675301	1.16133E-24	DRLADSP
150	0.5	1.222982807	0.958568341	0.724260019	1.29723E-05	DRLADSP
	0.6	1.22722872	0.958229406	0.229332351	6.66434E-19	DRLADSP
	0.7	1.227293006	0.95888648	0.139042658	7.60642E-26	DRLADSP
	0.8	1.233639485	0.958087193	0.0818703	1.36271E-31	DRLADSP
	0.9	1.24233807	0.957576683	0.068566786	1.91076E-34	DRLADSP

أظهرت نتائج جدول (7) للأنموذج الانحدار شبه المعلمي الجزئي الثالث وعند نسبة تلوث (10%) ولجميع احجام العينات (50, 100, 150) ($n=50, 100, 150$) ولكل مستويات معامل الارتباط ($\rho=0.5, 0.6, 0.7, 0.8, 0.9$) ان أفضل مقدر هو (DRLADSP) لأنه يمتلك أقل متوسط خطأ مطلق نسي (MAPE).

جدول (8): متوسط النسبة المطلقة للخطأ (MAPE)، عند نسبة التلوث 20% للأنموذج الثالث:

n	ρ	DRLTSNW	DRLTSSP	DRLADNW	DRLADSP	Best
50	0.5	1.714380917	0.846221794	0.466982657	5.07674E-06	DRLADSP
	0.6	1.708115481	0.844273535	0.050304845	3.60522E-16	DRLADSP
	0.7	1.70813617	0.84292569	0.019985558	1.32691E-21	DRLADSP
	0.8	1.73606244	0.8476659	0.007834746	2.7494E-27	DRLADSP
	0.9	1.697587859	0.839870571	0.006316203	1.19116E-25	DRLADSP
100	0.5	1.60529486	0.89498368	0.505252964	5.76399E-08	DRLADSP
	0.6	1.625743207	0.895504092	0.052783089	2.64383E-27	DRLADSP
	0.7	1.592975094	0.893270322	0.020843536	4.31596E-33	DRLADSP
	0.8	1.592714945	0.890800365	0.008031017	5.72852E-45	DRLADSP
	0.9	1.612384174	0.896804258	0.005564735	5.13245E-46	DRLADSP
150	0.5	1.541260302	0.919283301	0.526310514	1.19225E-09	DRLADSP
	0.6	1.542934366	0.918641961	0.055186582	3.63119E-34	DRLADSP
	0.7	1.550302014	0.919864499	0.021166422	1.05313E-48	DRLADSP
	0.8	1.564350441	0.918371651	0.007733935	1.5455E-59	DRLADSP
	0.9	1.590352396	0.917442731	0.005560653	1.81789E-65	DRLADSP

أظهرت نتائج جدول (8) لأنموذج الانحدار شبه المعلمي الجزئي الثالث وعند نسبة تلوث (%) 20 ولجميع احجام العينات (50, 100, 150) ولكل مستويات معامل الارتباط (DRLADSP) لأنه يمتلك أقل متوسط خطأ مطلق نسبي (MAPE).

جدول (9): متوسط النسبة المطلقة للخطأ (MAPE)، عندما تكون نسبة التلوث 30% للأنموذج الثالث:

n	ρ	DRLTSNW	DRLTSSP	DRLADNW	DRLADSP	Best
50	0.5	1.272385579	0.919085587	0.680429789	0.001283138	DRLADSP
	0.6	1.27345966	0.917955395	0.212799378	8.95345E-10	DRLADSP
	0.7	1.272642852	0.917196677	0.129210564	1.71831E-12	DRLADSP
	0.8	1.278373559	0.919817486	0.07797047	2.42676E-15	DRLADSP
	0.9	1.266676149	0.915332726	0.067893031	1.16962E-14	DRLADSP
100	0.5	1.243365974	0.945664692	0.709181704	0.000121734	DRLADSP
	0.6	1.251764065	0.945902894	0.222103115	4.01075E-15	DRLADSP
	0.7	1.239800501	0.944696808	0.135924404	2.76672E-18	DRLADSP
	0.8	1.238867096	0.943368244	0.081799412	5.00716E-24	DRLADSP
	0.9	1.248674567	0.946645089	0.067675301	1.16133E-24	DRLADSP
150	0.5	1.222982807	0.958568341	0.724260019	1.29723E-05	DRLADSP
	0.6	1.227222872	0.958229406	0.229332351	6.66434E-19	DRLADSP
	0.7	1.227293006	0.95888648	0.139042658	7.60642E-26	DRLADSP
	0.8	1.233639485	0.958087193	0.0818703	1.36271E-31	DRLADSP
	0.9	1.24233807	0.957576683	0.068566786	1.91076E-34	DRLADSP

أظهرت نتائج جدول (9) لأنموذج الانحدار شبه المعلمي الجزئي الثالث وعند نسبة تلوث (%) 30 ولجميع احجام العينات (50, 100, 150) ولكل مستويات معامل الارتباط (DRLADSP) لأنه يمتلك أقل متوسط خطأ مطلق نسبي (MAPE).

8- الاستنتاجات

1) في الأنموذج الأول للجدول (1) و (2) و (3) نجد ان أفضل مقدر في حالة الارتباط (0.5) ولجميع أحجام العينات كانت كالتالي: (DRLTSNW ثم DRLADNW ثم DRLTSSP) أخيراً (DRLADSP).

أما في حالة الارتباط (0.6, 0.7, 0.8, 0.9) ولجميع أحجام العينات كانت كالتالي: (DRLADSP ثم DRLADNW ثم DRLTSNW) أخيراً (DRLTSSP).

2) في حالة الأنموذج الثاني والثالث ولكلفة نسب التلوث ولجميع أحجام العينات كانت أفضل المقدرات كالتالي: (DRLADSP ثم DRLADNW ثم DRLTSSP) أخيراً (DRLTSNW).

3) نستنتج من أعلاه أن أفضل الطرائق ولكلفة أحجام العينات ولجميع نسب التلوث ولكن النماذج هي (DRLADSP) لأنه يمتلك أقل متوسط النسبة المطلقة للخطأ (MAPE).

9- المصادر

- 1) Abbas, H. H., and Abood, S. N. (2022). Comparison of Robust Circular S and Circular Least Squares Estimators for Circular Regression Model using Simulation. *Journal of Economics and Administrative Sciences*, Vol. 28, No. 134, pp 168–185.
- 2) Abdul-Hafez, A. S., and Rashid, D. H. (2013). Robust Two-Step Estimation and Approximation Local Polynomial Kernel For Time-Varying Coefficient Model With Balance Longitudinal Data. *Journal of Economics and Administrative Sciences*, Vol. 19, No. 70, pp. 297-324.
- 3) Akdeniz, F., Duran, E. A., Roozbeh, M., and Arashi, M. (2015). Efficiency of the generalized difference-based Liu estimators in semiparametric regression models with correlated errors. *Journal of Statistical Computation and Simulation*, Vol. 85, No. 1, pp 147–165.
- 4) AL-Adilee, R. T. K., and Aboudi, E. H. (2021). ESTIMATED NON-PARAMETRIC AND SEMI-PARAMETRIC MODEL FOR LONGITUDINAL DATA. *International Journal of Agricultural & Statistical Sciences*, Vol. 17, Vol. Supplement 1, pp. 1963-1972.
- 5) Al-Azzawi, E. A., and Al-Always, L. A. (2022). Robust Estimation OF The Partial Regression Model Using Wavelet Thresholding. *Journal of Economics and Administrative Sciences*, Vol. 28, No. 133, pp.97–113.
- 6) Ali, O. A., Naji, M. Q., and Ismaeel, M. M. (2020). Kernel estimation of returns of retirement funds of employers based on monetary earnings (subscriptions and compensation) via regression discontinuity in Iraq. *Periodicals of Engineering and Natural Sciences*, Vol. 8, No. 3, pp. 1752–1766.
- 7) Alma, Ö. G. (2011). Comparison of robust regression methods in linear regression. *Int. J. Contemp. Math. Sciences*, Vol. 6, No. 9, pp. 409–421.
- 8) Al-Tai, A. A., and Al-Kazaz, Q. N. N. (2022). Semi parametric Estimators for Quantile Model via LASSO and SCAD with Missing Data. *Journal of Economics and Administrative Sciences*, Vol. 28, No. 133, pp. 82–96.
- 9) Aydin, D. (2007a). A comparison of the nonparametric regression models using smoothing spline and kernel regression. *World Academy of Science, Engineering and Technology*, Vol. 36, pp. 253–257.
- 10) Aydin, D. (2007b). Estimation of GDP in Turkey by nonparametric regression models. *Proceedings of the 6th WSEAS International Conference on Instrumentation, Measurement, Circuits and Systems*, pp. 221–225.
- 11) Aydin, D. (2014). Partially linear models based on smoothing spline estimated by different selection methods: a simulation study. *Pakistan Journal of Statistics*, Vol. 30, No. 1, pp. 35–56.
- 12) Bahez, Z. K., and Rasheed, H. A. (2022). Comparing Some of Robust the Non-Parametric Methods for Semi-Parametric Regression Models Estimation.

- Journal of Economics and Administrative Sciences, Vol. 28, No. 132, pp. 105–117.
- 13) Bickel, P., Diggle, P., Fienberg, S., Gather, U., Olkin, I., and Zeger, S. (2009). Springer series in statistics. Springer.
- 14) Burhan, Y. K., and Hmood, M. Y. (2018). Comparison between the methods estimate nonparametric and semiparametric transfer function model in time series the using simulation. Journal of Economics and Administrative Sciences, Vol. 24, No. 106, pp. 375-391.
- 15) Chen, H. (1988). Convergence rates for parametric components in a partly linear model. *The Annals of Statistics*, pp. 136–146.
- 16) Demir, S., and Toktamış, Ö. (2010). On the adaptive Nadaraya-Watson kernel regression estimators. *Hacettepe Journal of Mathematics and Statistics*, Vol. 39, No. 3, pp. 429–437.
- 17) Duran, E. A., and Akdeniz, F. (2013). New difference-based estimator of parameters in semiparametric regression models. *Journal of Statistical Computation and Simulation*, Vol. 83, No. 5, pp. 810–824.
- 18) Duran, E. A., Härdle, W. K., and Osipenko, M. (2012). Difference based ridge and Liu type estimators in semiparametric regression models. *Journal of Multivariate Analysis*, Vol. 105, No. 1, pp. 164–175.
- 19) Fox, J. (2006). Teacher's corner: structural equation modeling with the sem package in R. *Structural Equation Modeling*, Vol. 13, No. 3, pp. 465–486.
- 20) Habeeb, A. S., Hmood, M. Y., and Mohammed, M. J. (2021). ESTIMATING NONPARAMETRIC AUTOREGRESSIVE CURVE BY SMOOTHING SPLINES METHOD. *International Journal of Agricultural & Statistical Sciences*, Vol. 17, No. 2, pp. 815-825.
- 21) Hameed, L. M. A., and Khalaf, K. I. (2021). COMPARISON OF SOME NONPARAMETRIC METHODS TO DETERMINE THE NUMBER OF RADIATION DOSES FOR BREAST CANCER PATIENTS. *International Journal of Agricultural & Statistical Sciences*, Vol. 17, No. Supplement 1, pp. 2315-2323.
- 22) Härdle, W. (1994). Applied nonparametric regression.
- 23) Härdle, W., Müller, M., Sperlich, S., and Werwatz, A. (2004). Nonparametric and semiparametric models Springer. Vol. 1.
- 24) Hens, N. (2005). Non-and semi-parametric techniques for handling missing data. Limburgs Universitair Centrum (Belgium).
- 25) Herawati, N., Saidi, S., and Azis, D. (2022). RIDGE LEAST ABSOLUTE DEVIATION PERFORMANCE IN ADDRESSING MULTICOLLINEARITY AND DIFFERENT LEVELS OF OUTLIER SIMULTANEOUSLY. *Barekeng: Jurnal Ilmu Matematika Dan Terapan*, Vol. 16, No. 3, pp. 779–786.
- 26) Husein, S. M. (2016). A Simulation study to comparison some biased estimators. *International Journal of Advanced Research in Engineering and Technology*, Vol. 7, No. 4, pp. 57–64.

- 27) Hussein, S. M. (2019). Comparison of Some Suggested Estimators Based on Differencing Technique in the Partial Linear Model Using Simulation. *Baghdad Science Journal*, Vol. 16, No. 4, pp. 918-927.
- 28) Ibrahim, N. A., and Suliadi, S. (2010). GEE-smoothing spline in semiparametric model with correlated nominal data: estimation and simulation study. *Proceedings of the 4th International Conference on Applied Mathematics, Simulation, Modelling*, pp. 19–26.
- 29) Irshayyid, A. J., and Saleh, R. A. (2022). Robust Estimates for One-Parameter Exponential Regression Model. *Journal of Economics and Administrative Sciences*, Vol. 28, No. 134, pp. 147–159.
- 30) Irshayyid, A.J., and Saleh, R. A. (2023). Robust estimates for a three-parameter exponential regression model. *International Journal of Nonlinear Analysis and Applications*, Vol. 14, No. 1, pp. 2799-2808.
- 31) Jeremia, N. E., Nurrohmah, S., and Fithriani, I. (2020). Robust Ridge regression to solve a multicollinearity and outlier. *Journal of Physics: Conference Series*, Vol. 1442, No. 1, pp. 12030.
- 32) Kan, B., Alpu, Ö., and Yazıcı, B. (2013). Robust ridge and robust Liu estimator for regression based on the LTS estimator. *Journal of Applied Statistics*, Vol. 40, No. 3, pp. 644–655.
- 33) Katea, M. M., and Hmood, M. Y., (2014). A comparison of the Semiparametric Estimators model using smoothing methods different. *Journal of Economics and Administrative Sciences*, Vol. 20, No. 75, pp. 376-394.
- 34) Khalaf, N. B., and Mohammed, L. A. (2023). Comparison of Some Methods for Estimating Nonparametric Binary Logistic Regression. *Journal of Economics and Administrative Sciences*, Vol. 29, No. 135, pp. 56–67.
- 35) Khazal, S.S., and Kamal, G.I. (2019). Using Some Robust Methods For Handling the Problem of Multicollinearity. *Journal of Economics and Administrative Sciences*, Vol. 25, No. 112, pp. 500–514.
- 36) Khorshid, E. S., and Abboud, S. N. (2018). Comparison between the Methods of Ridge Regression and Liu Type to Estimate the Parameters of the Negative Binomial Regression Model Under Multicollinearity Problem by Using Simulation. *Journal of Economics and Administrative Sciences*, Vol. 24, No. 109, pp. 515-534.
- 37) Kvam, P., Vidakovic, B., and Kim, S. (2022). Nonparametric statistics with applications to science and engineering with R. John Wiley & Sons. Vol. 1
- 38) Mahmoud, H. F. F. (2019). Parametric versus semi and nonparametric regression models. *ArXiv Preprint ArXiv:1906.10221*.
- 39) Powell, J. L. (1994). Estimation of semiparametric models. *Handbook of Econometrics*. pp. 2443–2521.
- 40) Roozbeh, M. (2016). Robust ridge estimator in restricted semiparametric regression models. *Journal of Multivariate Analysis*, Vol. 147, pp. 127–144.

- 41) Rousseeuw, P. J., and Van Driessen, K. (2006). Computing LTS regression for large data sets. *Data Mining and Knowledge Discovery*, No. 12, pp. 29–45.
- 42) Rousseeuw, Peter j and Leroy, Annick M. (1987), Robust regression and outlier detection. Wiley series in probability and mathematical statistics.
- 43) ŞAMKAR, H., and ALPU, Ö. (2010). Ridge regression based on some robust estimators. *Journal of Modern Applied Statistical Methods*, Vol. 9, No. 2, pp. 495-501.
- 44) Speckman, P. (1988). Kernel smoothing in partial linear models. *Journal of the Royal Statistical Society Series B: Statistical Methodology*, Vol. 50, No. 3, pp. 413–436.
- 45) Tabakan, G., and Akdeniz, F. (2010). Difference-based ridge estimator of parameters in partial linear model. *Statistical Papers*, Vol. 51, No. 2, pp. 357–368.
- 46) Thanoon, F. H. (2015). Robust regression by least absolute deviations method. *International Journal of Statistics and Applications*, Vol. 5, No. 3, pp. 109–112.
- 47) Turkmen, A. S., and Tabakan, G. (2015). Outlier resistant estimation in difference-based semiparametric partially linear models. *Communications in Statistics-Simulation and Computation*, Vol. 44, No. 2, pp. 417–432.
- 48) Wu, J. (2016). Difference-based ridge-type estimator of parameters in restricted partial linear model with correlated errors. *SpringerPlus*, Vol. 5, No. 1, pp. 1–10.
- 49) Yatchew, A. (1997). An elementary estimator of the partial linear model. *Economics Letters*, Vol. 57, No. 2, pp. 135–143.
- 50) Yatchew, A. (2003). Semiparametric regression for the applied econometrician. Cambridge University Press.

Publication Prerequisites and terms

- 1- The journal publishes scientific research and studies in statistics and informatics written in Arabic, English and French, to make it clear that research submitted for publication has not been published or submitted for publication in magazines or other periodicals or presented and published in periodicals for conferences or seminars.
- 2- Send electronic copies (word & PDF) of the research and studies to the editor should include the name of the researcher or researchers and their scientific titles and places of work with the address of the correspondence, the numbers of telephones and e-mail. The research to be published should be sent electronically in accordance with the specifications below:
 - a. To be printed on A4 paper and be in the form of a single column and use the Type simplified Arabic and Times New Roman for English and French and with a font size (12). Using Microsoft Word and on one face of the paper.
 - b. The margin is 2.5 cm for all sides of the paper.
 - c. The researcher will attach a summary of his research in Arabic, English, or French in no more than one page.
 - d. Place references at the end of the paper and separated page. It is recommended to use the Harvard system of referencing, which (author's name, year of publication, source address, publishing house, country).
 - e. Numbered tables, illustrations, and others as they are received in the research, documents as aliases of the original sources.
 - f. The number of search or study pages should not exceed (25) pages.
- 3- Authors will be notified of receiving their research within two working days from the date of receipt of the research.
- 4- Referees will evaluate all submitted research, the Authors will be informed of the proposed evaluation and modifications if any within two weeks of receipt of the research.
- 5- The editorial board of the Journal has the right to accept or reject the research and has the right to make any modification or partial redrafting of the material submitted for publication in accordance with the format adopted in its publication after the approval of the researcher.
- 6- Published research becomes the property of the Journal and may not be republished elsewhere.
- 7- The articles published in the magazine reflect the opinions of the authors, and do not necessarily reflect the view of the Journal or the Arab Institute for Training and Research in Statistics.
- 8- The research is sent to the magazine's e-mail address:
journal@aitrs.org or Info@aitrs.org

Journal of Statistical Sciences

Scientific Referred Journal

Editorial Board

Editor-in Chief

Mr. Hedi Saidi

Editorial Secretary

Dr. Bachioua Lahcene

Editorial Board Members

Prof. Dr. Faisal Al-Sharabi
Dr. Salwa Mahmoud Assar
Dr. Hassan Abuhashan

Prof. Dr. Abed Khalil Tohami
Prof. Dr. Ahmed Shaker Almutwali
Dr. Hamid Bouzida

Prof. Dr. Mukhtar Al-Kouki
Prof. Dr. Issa Masarweh

Scientific Consulting Committee

Dr. Qassim Al-Zoubi
Dr. Diaa Awad
Dr. Iuay shabaneh

Dr. Nabeel M. Shams
Dr. Khalifa Al-Barwani
Prof. Dr. Ghazi Raho
Dr. Ola Awad

Prof. Dr. Awad Hajje Ali
Prof. Dr. Maytham Elaibi Ismael
Dr. Mohammed Husain Ali Al-Janabi

Listed in Ulrich's website

www.ulrichsweb.com

Classified in The Arab Citation & Impact Factor (Arcif)

www.emarefa.net/arcif/

ISSN 2522-64X (Online), ISSN 2519-948X (Print)

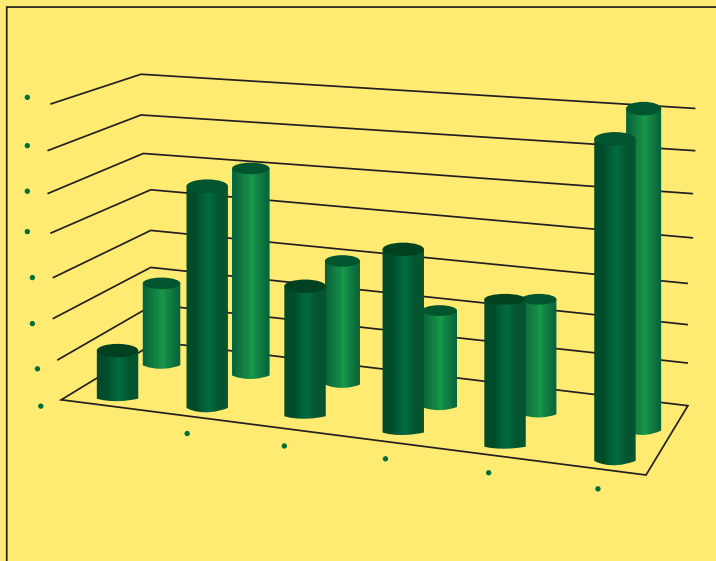
March. 2024

No. 22



Arab Institute for Training and Research in Statistics

Journal of Statistical Sciences



Issue No. 22

Scientific Peer-reviewed Journal issued by
Arab Institute for Training and Research in Statistics

Listed in Ulrich's website

www.ulrichsweb.com

Classified in The Arab Citation & Impact Factor (Arcif)

www.emarefa.net/arcif/

ISSN 2522-64X (Online), ISSN 2519-948X (Print)